

Kwantowy Generator Liczb Losowych Wykorzystujący Szum Śrutowy

JAKUB NIEMCZUK

Politechnika Wrocławska
jakub@niemczuk.tech

10 lutego 2020

Streszczenie

Dokument ten przedstawia podsumowanie prac nad kwantowym generatorem liczb losowych wykonanych w czasie od poprzedniego raportu. Opracowano w pełni funkcjonalny prototyp małego, integralnego, niezależnego generatora liczb losowych wykorzystującego szum śrutowy, występujący w fotodiodzie jako źródła fundamentalnie niedeterministycznej losowości. Urządzenie generuje strumień bitów z prędkością 1 Mb/s. Dane wyjściowe generatora zostały przetestowane zestawem testów statystycznych będących standardem przemysłowym w zakresie weryfikacji jakości kryptograficznych generatorów liczb losowych. Generator wykazuje najwyższy stopień losowości i użyteczności.

I. WSTĘP

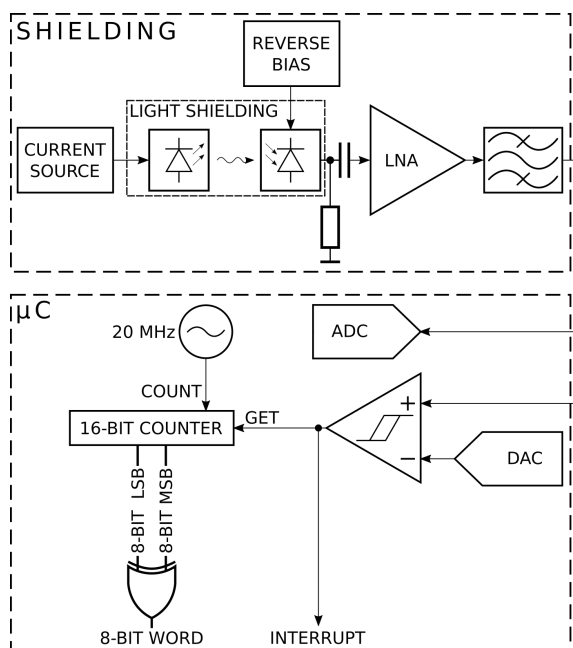
Pomyślnie zakończono pracę nad kwantowym generatorem liczb losowych wykorzystującym szum śrutowy w fotodiodach jako źródło kwantowego szumu. Po pomyślnym zidentyfikowaniu źródeł szumów w półprzewodnikach i opracowaniu sposobów eliminacji szumów potencjalnie deterministycznych, bo wywodzących się z efektów klasycznych, opisanych w poprzednim raporcie, rozwiązano problemy implementacyjne i układowe, zakańczając pracę budową układu i opracowaniem technologii która generuje liczby spełniające najsurowsze kryteria kryptograficzne i statystyczne za pomocą efektów czysto kwantowych. Przedstawiana konstrukcja zawiera szereg ulepszeń w stosunku do poprzedniej. Zrezygnowano z wzmacniacza transimpedancyjnego na rzecz prostego przekształtnika sygnału prądowego na napięciowy, opartego o układ rezystora i kondensatora. Zrezygnowano z metody generacji strumienia bitów polegającej na porównywaniu czasów pomiędzy impulsami w nie-

zależnych parach na rzecz układu inkrementalnego zegara pracującego w trybie ciągłym z którego liczby pobierane są w momencie wykrycia zdarzenia wynikającego z szumu śrutowego. Urządzenie wyposażono w kontroler portu szeregowego USB dzięki któremu możliwe jest zastosowanie generatora w każdym systemie informatycznym, generując entropię z prędkością 1 MB/s. Cały system zawiera się w wymiarach 28x10x46,5 mm z pominięciem złącza USB. Dane wygenerowane przez urządzenie wykazują cechy losowości oraz pozytywnie przechodzą wszystkie testy statystyczne pakietu dieharder oraz pakietu NIST SP-800-22.

II. OPIS URZĄDZENIA

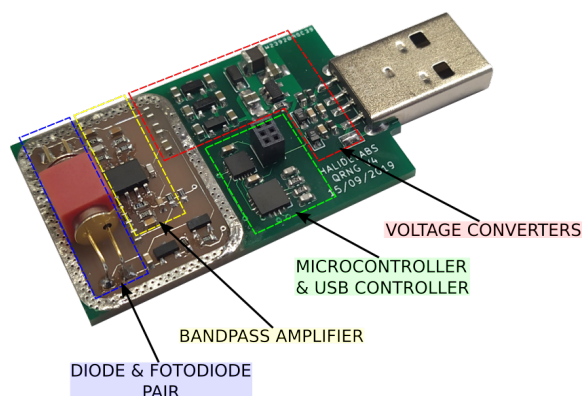
Największą zmianą w stosunku do poprzedniej iteracji było zastąpienie wzmacniacza transimpedancyjnego przekształtnikiem zmiennego prądu na zmienne napięcie składającego się z układu rezystora i kondensatora w układzie

filtru górnoprzepustowego. Spolaryzowana za pomocą fotodiody generuje fotoprąd zawierający szumy, które przenoszone przez kondensator blokujący składową stałą są wzmacniane i filtrowane. Selektywnie odfiltrowany szum śrutowy wprowadzany jest do mikrokontrolera realizującego funkcje próbkowania, analizowania i ekstraktownia entropii z sygnału. Rys. 1 przedstawia uproszczony schemat blokowy ekranowanej części fizycznej generującej szum śrutowy i część sprzętową mikrokontrolera odpowiedzialną za generację losowych liczb z uzyskanego szumu. Rys. 2 przedstawia finalne urządzenie z zaznaczonymi poszczególnymi blokami funkcjonalnymi.



Rysunek 1: Schemat blokowy układu

Podczas każdego uruchomienia urządzenia mikrokontroler wykonuje serię testów poprawności działania źródła szumu śrutowego. Najważniejszym warunkiem jest znacząco większa amplituda szumu zawierającego szum śrutowy (po włączeniu LED) niż szumu bazowego urządzenia. W celu testu tego warunku mikrokontroler próbuje szum z wyłączoną i włączoną diodą elektroluminescencyjną, oblicza średnią sygnałów i ich odchylenie standardowe; które wykorzystuje do ustawienia przetwornika cy-



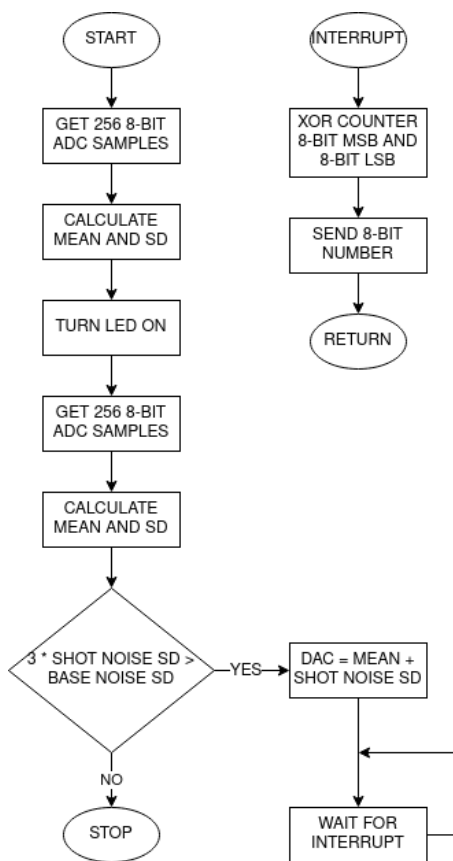
Rysunek 2: Zdjęcie układu z zaznaczonymi poszczególnymi blokami funkcjonalnymi

frowo analogowego do którego porównywany jest szum za pomocą wbudowanego komparatora. Rys. 3 przedstawia uproszczony schemat potoku oprogramowania z warunkami startu generacji liczb i konfiguracji przetwornika cyfrowo analogowego.

III. WYNIKI

W celu testu generatora wygenerowano próbkę 2 GiB. Próbkę jak poprzednio poddano testom z użyciem pakietu NIST SP-800-22, dieharder oraz kilku innym narzędziom. Rys. 4 przedstawia histogram próbki o rozmiarze 100 MiB z którego wynika normalny rozkład generowanych liczb. Rys. 5 przedstawia bitmapę wielkości 256 x 256 px wykonaną z losowo wybranej próbki. Nie są widoczne żadne korelacje. Lis. 1, 2 i 3 przedstawiają skondensowany raport dotyczący wyników testów poszczególnych narzędzi. Dane generowane przez urządzenie spełniają wszystkie wymagania sprzętowego kryptograficznego generatora liczb losowych.

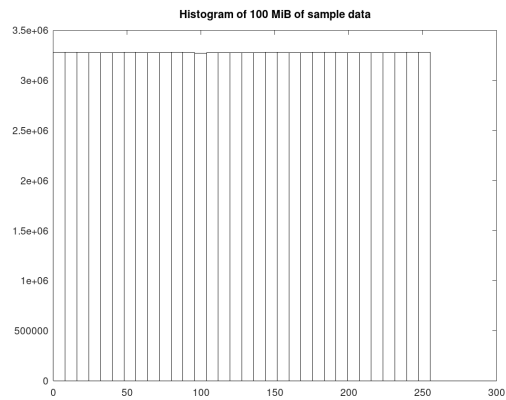
Pomyślnie zakończono budowę i testy kwantowego generatora liczb losowych wykorzystującego szum śrutowy jako źródło entropii. Zidentyfikowano potencjalne problemy w aktualnie stosowanych konkurencyjnych rozwiązaniach które będą przedmiotem osobnej pracy. W przyszłej pracy urządzenie zostanie poddane dalszej miniaturyzacji poprzez implementację rozwiązania w specjalizowanym ukła-



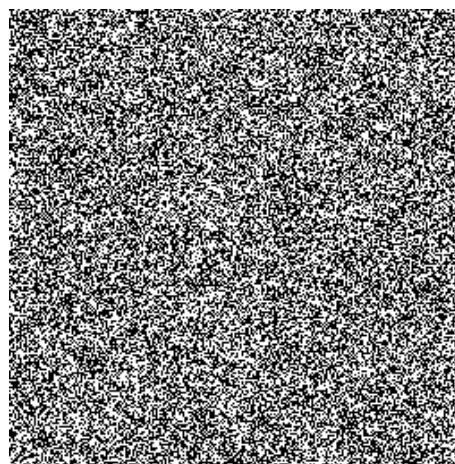
Rysunek 3: Uproszczony schemat blokowy oprogramowania przedstawiający sekwencję startową urządzenia oraz sposób generacji liczb.

dzie scalonym (ang. ASIC), co umożliwi tanią masową produkcję i implementację wewnątrz urządzeń wymagających źródła entropii o bardzo wysokiej jakości.

Próbka danych wielkości 2 GiB dostępna jest pod adresem: <https://halidelabs.eu/QRNG/data.bin>.



Rysunek 4: Histogram próbki o rozmiarze 100 MiB.



Rysunek 5: Bitmapa wielkości 256 x 256 px.

Listing 1: Wynik testów z pakietu NIST SP-800-22.

RESULTS FOR THE UNIFORMITY OF P-VALUES AND THE PROPORTION OF PASSING SEQUENCES												
generator is <data/data.bin> 1000000 bits sample size times 100												
C1	C2	C3	C4	C5	C6	C7	C8	C9	C10	P-VALUE	PROPORTION	STATISTICAL TEST
10	11	10	10	5	14	11	11	7	11	0.798139	100/100	Frequency
8	13	8	13	8	9	10	10	11	10	0.955835	99/100	BlockFrequency
10	11	11	9	6	13	3	15	10	12	0.304126	100/100	CumulativeSums
9	16	1	14	11	12	9	10	8	10	0.108791	100/100	CumulativeSums
5	14	9	15	4	14	12	11	7	9	0.145326	99/100	Runs
7	11	9	8	10	11	11	9	11	13	0.971699	99/100	LongestRun
5	8	12	12	10	6	7	12	15	13	0.350485	98/100	Rank
10	9	10	8	5	8	18	13	13	6	0.153763	100/100	FFT
11	12	11	9	10	11	8	8	15	5	0.678686	99/100	NonOverlappingTemplate
15	7	7	12	15	11	13	8	7	5	0.213309	99/100	NonOverlappingTemplate
16	14	9	4	8	10	7	8	9	15	0.153763	98/100	NonOverlappingTemplate
11	12	8	6	14	10	9	11	13	6	0.657933	98/100	NonOverlappingTemplate
11	8	8	11	10	17	10	7	9	9	0.637119	100/100	NonOverlappingTemplate
4	12	10	13	7	10	10	12	12	10	0.678686	100/100	NonOverlappingTemplate
5	9	15	4	13	19	11	7	10	7	0.020548	100/100	NonOverlappingTemplate
12	12	10	12	6	9	13	8	9	9	0.883171	97/100	NonOverlappingTemplate
11	7	10	10	15	8	9	11	11	8	0.867692	96/100	NonOverlappingTemplate
10	7	15	10	9	11	8	10	11	9	0.897763	100/100	NonOverlappingTemplate
12	14	7	13	9	15	7	8	9	6	0.401199	99/100	NonOverlappingTemplate
5	17	10	12	14	5	11	9	10	7	0.162606	100/100	NonOverlappingTemplate
11	8	16	6	6	12	8	7	13	13	0.289667	99/100	NonOverlappingTemplate
12	5	15	7	13	11	12	8	6	11	0.366918	99/100	NonOverlappingTemplate
13	8	8	10	11	10	8	8	9	15	0.816537	98/100	NonOverlappingTemplate
7	14	9	9	12	14	9	10	10	6	0.699313	100/100	NonOverlappingTemplate
6	15	14	7	11	2	8	11	10	16	0.045675	100/100	NonOverlappingTemplate
10	12	15	8	14	10	5	8	10	8	0.514124	96/100	NonOverlappingTemplate
13	8	8	10	15	11	9	11	6	9	0.719747	100/100	NonOverlappingTemplate
11	10	13	15	11	7	10	9	6	8	0.678686	100/100	NonOverlappingTemplate
13	8	10	9	12	10	11	9	10	8	0.983453	99/100	NonOverlappingTemplate
8	12	7	13	12	8	10	3	12	15	0.262249	100/100	NonOverlappingTemplate
10	9	9	15	17	3	11	7	6	13	0.066882	100/100	NonOverlappingTemplate
12	6	9	10	11	13	10	9	10	10	0.955835	99/100	NonOverlappingTemplate
5	12	6	13	5	15	14	13	7	10	0.129620	100/100	NonOverlappingTemplate
10	10	12	9	11	13	11	9	8	7	0.964295	100/100	NonOverlappingTemplate
11	12	12	8	9	12	15	4	9	8	0.494392	98/100	NonOverlappingTemplate
10	9	15	9	5	12	14	8	13	5	0.275709	97/100	NonOverlappingTemplate
6	6	17	16	11	4	8	11	13	8	0.045675	99/100	NonOverlappingTemplate
7	11	13	6	12	11	8	11	11	10	0.867692	100/100	NonOverlappingTemplate
12	16	11	7	8	10	6	7	10	13	0.455937	97/100	NonOverlappingTemplate
9	8	9	10	13	7	11	10	6	17	0.437274	99/100	NonOverlappingTemplate
7	13	6	9	11	7	13	16	8	10	0.401199	100/100	NonOverlappingTemplate
16	12	8	10	9	12	6	11	10	6	0.514124	97/100	NonOverlappingTemplate
6	12	11	9	10	13	7	9	13	10	0.834308	100/100	NonOverlappingTemplate
7	5	8	9	16	7	15	14	9	10	0.181557	97/100	NonOverlappingTemplate
14	7	6	10	5	11	15	11	10	11	0.401199	99/100	NonOverlappingTemplate
14	10	7	12	10	12	10	6	7	12	0.719747	99/100	NonOverlappingTemplate
8	7	16	5	8	10	3	12	15	16	0.023545	98/100	NonOverlappingTemplate
11	11	10	9	12	15	3	10	9	10	0.514124	98/100	NonOverlappingTemplate
8	8	13	10	10	15	7	11	11	7	0.719747	98/100	NonOverlappingTemplate
3	12	11	13	10	11	14	7	12	7	0.334538	98/100	NonOverlappingTemplate
13	14	9	7	9	11	10	11	8	8	0.867692	99/100	NonOverlappingTemplate
7	9	8	11	16	6	13	9	10	11	0.554420	100/100	NonOverlappingTemplate

8	8	5	6	10	7	21	15	7	13	0.008266	100/100	NonOverlappingTemplate
14	11	10	8	11	6	7	7	14	12	0.574903	99/100	NonOverlappingTemplate
12	12	16	13	3	2	13	6	17	6	0.002374	98/100	NonOverlappingTemplate
11	8	8	10	10	12	13	9	9	10	0.983453	99/100	NonOverlappingTemplate
13	8	12	10	10	8	10	7	9	13	0.911413	97/100	NonOverlappingTemplate
14	6	11	14	11	9	8	8	10	9	0.739918	100/100	NonOverlappingTemplate
9	8	12	14	10	8	10	10	9	10	0.964295	99/100	NonOverlappingTemplate
8	15	8	12	12	6	8	7	12	12	0.554420	99/100	NonOverlappingTemplate
12	10	14	12	5	9	10	8	14	6	0.474986	97/100	NonOverlappingTemplate
7	9	8	11	14	10	13	10	12	6	0.739918	100/100	NonOverlappingTemplate
12	9	14	8	11	8	10	7	11	10	0.911413	99/100	NonOverlappingTemplate
15	8	9	11	9	9	8	9	10	12	0.897763	98/100	NonOverlappingTemplate
10	7	12	14	12	14	8	3	9	11	0.319084	100/100	NonOverlappingTemplate
7	8	16	12	8	8	14	13	6	8	0.304126	98/100	NonOverlappingTemplate
5	10	13	4	15	8	7	9	13	16	0.080519	100/100	NonOverlappingTemplate
6	11	9	9	3	15	9	15	9	14	0.137282	100/100	NonOverlappingTemplate
12	8	8	8	12	14	9	6	9	14	0.637119	100/100	NonOverlappingTemplate
10	9	11	13	14	11	7	8	6	11	0.759756	97/100	NonOverlappingTemplate
15	7	11	13	12	7	10	9	9	7	0.657933	95/100	* NonOverlappingTemplate
7	16	9	10	9	9	12	11	6	11	0.637119	98/100	NonOverlappingTemplate
5	8	9	12	15	10	12	9	11	9	0.678686	99/100	NonOverlappingTemplate
6	8	12	8	12	13	12	11	9	9	0.851383	100/100	NonOverlappingTemplate
6	9	16	10	10	14	8	5	12	10	0.334538	99/100	NonOverlappingTemplate
12	12	12	11	10	10	6	11	10	6	0.867692	99/100	NonOverlappingTemplate
4	13	12	12	13	7	5	11	12	11	0.334538	98/100	NonOverlappingTemplate
12	13	6	9	13	7	9	6	13	12	0.554420	99/100	NonOverlappingTemplate
13	6	7	10	14	7	14	10	10	9	0.574903	99/100	NonOverlappingTemplate
14	2	7	10	11	8	13	5	16	14	0.035174	98/100	NonOverlappingTemplate
8	7	10	11	9	13	10	9	13	10	0.946308	99/100	NonOverlappingTemplate
9	15	15	15	8	6	6	8	12	6	0.137282	100/100	NonOverlappingTemplate
11	12	11	9	10	11	8	8	15	5	0.678686	99/100	NonOverlappingTemplate
16	11	8	5	13	10	8	13	9	7	0.366918	99/100	NonOverlappingTemplate
10	10	11	13	10	5	8	12	11	10	0.883171	100/100	NonOverlappingTemplate
8	9	6	9	10	11	7	15	12	13	0.637119	100/100	NonOverlappingTemplate
11	14	4	11	8	6	11	13	8	14	0.319084	100/100	NonOverlappingTemplate
14	12	7	10	12	7	8	9	11	10	0.851383	99/100	NonOverlappingTemplate
9	11	10	7	7	9	16	11	8	12	0.678686	100/100	NonOverlappingTemplate
8	10	8	13	11	15	7	6	5	17	0.115387	98/100	NonOverlappingTemplate
9	7	13	6	13	12	11	6	14	9	0.514124	99/100	NonOverlappingTemplate
8	6	10	13	17	9	13	9	6	9	0.304126	99/100	NonOverlappingTemplate
11	7	12	5	13	10	5	5	17	15	0.045675	100/100	NonOverlappingTemplate
7	9	12	9	13	9	10	8	13	10	0.924076	99/100	NonOverlappingTemplate
10	7	9	12	7	9	9	13	12	12	0.897763	99/100	NonOverlappingTemplate
16	12	9	10	4	7	8	11	14	9	0.289667	97/100	NonOverlappingTemplate
9	11	10	10	10	6	12	12	9	11	0.971699	99/100	NonOverlappingTemplate
15	11	12	7	6	10	12	8	10	9	0.699313	98/100	NonOverlappingTemplate
13	13	13	7	9	7	15	5	11	7	0.304126	99/100	NonOverlappingTemplate
9	12	8	11	8	10	12	12	7	11	0.955835	98/100	NonOverlappingTemplate
11	13	10	12	13	14	8	7	8	4	0.419021	100/100	NonOverlappingTemplate
9	7	12	10	11	8	14	10	8	11	0.911413	100/100	NonOverlappingTemplate
9	9	12	15	13	10	9	4	7	12	0.437274	100/100	NonOverlappingTemplate
10	10	7	8	12	8	15	8	8	14	0.637119	100/100	NonOverlappingTemplate
13	5	16	12	13	7	12	9	8	5	0.181557	98/100	NonOverlappingTemplate
15	12	18	6	11	10	3	9	5	11	0.028817	100/100	NonOverlappingTemplate
16	15	9	6	6	13	10	6	8	11	0.191687	98/100	NonOverlappingTemplate
10	9	13	9	15	9	8	8	10	9	0.867692	99/100	NonOverlappingTemplate
11	11	8	7	9	8	11	11	13	11	0.955835	98/100	NonOverlappingTemplate
7	7	15	10	3	14	15	7	11	11	0.108791	99/100	NonOverlappingTemplate
8	13	6	9	13	6	11	9	11	14	0.595549	99/100	NonOverlappingTemplate
9	11	9	13	10	6	13	11	10	8	0.897763	100/100	NonOverlappingTemplate
5	10	15	10	9	3	7	10	20	11	0.012650	100/100	NonOverlappingTemplate

13	12	10	8	8	10	10	10	5	14	0.719747	99/100	NonOverlappingTemplate
10	7	9	13	9	11	11	6	12	12	0.867692	98/100	NonOverlappingTemplate
8	11	10	8	14	6	11	17	9	6	0.289667	99/100	NonOverlappingTemplate
8	7	7	13	12	8	13	14	9	9	0.678686	99/100	NonOverlappingTemplate
7	8	12	14	5	15	8	8	13	10	0.350485	99/100	NonOverlappingTemplate
9	14	9	6	11	8	7	12	15	9	0.554420	100/100	NonOverlappingTemplate
6	10	14	9	8	9	14	10	10	10	0.798139	99/100	NonOverlappingTemplate
8	8	13	9	6	6	15	13	12	10	0.455937	99/100	NonOverlappingTemplate
11	11	11	13	5	12	8	9	7	13	0.699313	100/100	NonOverlappingTemplate
10	11	12	12	6	13	11	8	10	7	0.851383	97/100	NonOverlappingTemplate
11	8	7	10	12	12	7	9	12	12	0.911413	100/100	NonOverlappingTemplate
5	6	13	12	7	16	12	11	7	11	0.249284	100/100	NonOverlappingTemplate
12	8	9	8	7	13	13	12	9	9	0.867692	99/100	NonOverlappingTemplate
8	11	10	15	12	9	6	10	10	9	0.816537	100/100	NonOverlappingTemplate
6	7	12	13	13	13	8	8	9	11	0.678686	100/100	NonOverlappingTemplate
8	11	9	10	13	9	13	9	6	12	0.867692	100/100	NonOverlappingTemplate
8	10	13	9	7	11	17	4	7	14	0.145326	99/100	NonOverlappingTemplate
5	5	10	10	10	11	11	6	13	19	0.071177	99/100	NonOverlappingTemplate
12	8	18	5	9	6	13	7	7	15	0.055361	99/100	NonOverlappingTemplate
9	7	11	6	5	17	8	10	12	15	0.145326	100/100	NonOverlappingTemplate
8	4	10	7	6	17	12	9	12	15	0.096578	98/100	NonOverlappingTemplate
8	10	8	10	20	4	9	11	12	8	0.080519	100/100	NonOverlappingTemplate
9	3	7	12	5	14	9	13	14	14	0.102526	99/100	NonOverlappingTemplate
5	17	10	13	9	5	13	11	8	9	0.191687	100/100	NonOverlappingTemplate
8	7	14	18	7	13	11	6	10	6	0.108791	99/100	NonOverlappingTemplate
12	12	12	7	9	8	13	10	8	9	0.911413	98/100	NonOverlappingTemplate
11	7	8	6	11	11	15	9	10	12	0.719747	97/100	NonOverlappingTemplate
16	8	10	8	7	10	13	10	10	8	0.678686	99/100	NonOverlappingTemplate
11	8	10	8	14	11	9	8	11	10	0.955835	97/100	NonOverlappingTemplate
8	12	9	9	9	10	10	16	11	6	0.699313	100/100	NonOverlappingTemplate
13	12	5	9	7	11	13	9	9	12	0.699313	97/100	NonOverlappingTemplate
12	15	8	10	9	9	8	11	9	9	0.897763	99/100	NonOverlappingTemplate
9	14	9	10	11	7	10	9	11	10	0.964295	100/100	NonOverlappingTemplate
7	10	9	9	12	12	11	9	13	8	0.946308	100/100	NonOverlappingTemplate
12	8	10	6	10	12	13	5	12	12	0.637119	99/100	NonOverlappingTemplate
11	7	10	12	10	9	14	11	5	11	0.759756	99/100	NonOverlappingTemplate
11	4	11	12	13	5	12	8	13	11	0.401199	100/100	NonOverlappingTemplate
10	7	11	7	8	8	14	14	13	8	0.616305	98/100	NonOverlappingTemplate
10	14	7	15	8	6	13	9	6	12	0.350485	99/100	NonOverlappingTemplate
11	9	12	12	5	11	12	10	11	7	0.834308	99/100	NonOverlappingTemplate
8	10	8	14	7	14	13	9	10	7	0.657933	100/100	NonOverlappingTemplate
14	13	12	12	2	8	8	9	12	10	0.275709	98/100	NonOverlappingTemplate
9	15	15	15	8	6	6	8	12	6	0.137282	100/100	NonOverlappingTemplate
6	10	10	12	12	8	12	10	6	14	0.699313	99/100	OverlappingTemplate
10	9	11	15	9	11	3	8	11	13	0.419021	100/100	Universal
8	8	13	12	6	13	12	9	7	12	0.699313	99/100	ApproximateEntropy
5	3	7	5	4	5	10	6	13	9	0.086458	67/67	RandomExcursions
11	4	5	2	10	9	8	7	5	6	0.170294	66/67	RandomExcursions
5	7	8	7	8	6	3	11	5	7	0.551026	67/67	RandomExcursions
6	7	5	8	11	8	5	4	5	8	0.585209	66/67	RandomExcursions
5	10	5	6	10	3	7	8	6	7	0.517442	67/67	RandomExcursions
8	5	9	5	7	8	4	8	11	2	0.242986	64/67	RandomExcursions
3	8	12	7	6	5	5	10	6	5	0.242986	67/67	RandomExcursions
9	7	6	5	6	8	6	6	10	4	0.756476	66/67	RandomExcursions
4	4	9	11	7	7	1	8	7	9	0.128379	66/67	RandomExcursionsVariant
5	6	3	11	7	8	8	3	4	12	0.078086	66/67	RandomExcursionsVariant
5	4	8	8	5	7	12	5	6	7	0.452799	66/67	RandomExcursionsVariant
6	6	5	8	10	4	10	5	5	8	0.551026	67/67	RandomExcursionsVariant
6	6	7	8	7	6	7	8	8	4	0.957319	66/67	RandomExcursionsVariant
8	3	7	7	7	9	8	3	6	9	0.551026	66/67	RandomExcursionsVariant
7	1	7	7	5	6	9	14	2	9	0.011931	67/67	RandomExcursionsVariant

6	6	4	5	8	9	7	7	8	7	0.900104	67/67	RandomExcursionsVariant
10	4	5	7	9	4	9	10	6	3	0.242986	67/67	RandomExcursionsVariant
6	3	4	8	10	8	9	4	4	11	0.155209	67/67	RandomExcursionsVariant
5	7	4	9	3	7	9	5	10	8	0.422034	67/67	RandomExcursionsVariant
3	10	9	3	4	10	3	6	7	12	0.033288	67/67	RandomExcursionsVariant
3	5	13	5	6	2	15	5	8	5	0.001313	67/67	RandomExcursionsVariant
6	7	8	5	9	10	7	7	3	5	0.619772	67/67	RandomExcursionsVariant
10	6	5	8	9	8	6	2	7	6	0.484646	67/67	RandomExcursionsVariant
11	7	9	2	8	4	1	5	11	9	0.018969	66/67	RandomExcursionsVariant
6	10	9	6	3	5	7	10	6	5	0.452799	66/67	RandomExcursionsVariant
8	8	8	3	7	2	5	12	8	6	0.155209	66/67	RandomExcursionsVariant
8	8	16	6	6	10	17	7	10	12	0.129620	100/100	Serial
10	12	4	7	9	6	13	10	23	6	0.002043	100/100	Serial
11	14	11	5	5	10	14	12	10	8	0.419021	99/100	LinearComplexity

The minimum pass rate for each statistical test with the exception of the random excursion (variant) test is approximately = 96 for a sample size = 100 binary sequences.

The minimum pass rate for the random excursion (variant) test is approximately = 63 for a sample size = 67 binary sequences.

Listing 2: Wynik testów z pakietu dieharder.

```

=====#
#           dieharder version 3.31.1 Copyright 2003 Robert G. Brown           #
#=====#
  rng_name |          filename          | rands/second |
file_input_raw |          data.bin          | 2.89e+07 |
#=====#
  test_name | ntup | tsamples | psamples | p-value | Assessment
#=====#
  diehard_birthdays | 0 | 100 | 100 | 0.60051170 | PASSED
  diehard_operm5 | 0 | 1000000 | 100 | 0.97500007 | PASSED
  diehard_rank_32x32 | 0 | 40000 | 100 | 0.91323452 | PASSED
  diehard_rank_6x8 | 0 | 100000 | 100 | 0.20150330 | PASSED
  diehard_bitstream | 0 | 2097152 | 100 | 0.52444005 | PASSED
  diehard_opso | 0 | 2097152 | 100 | 0.55268288 | PASSED
  diehard_oqso | 0 | 2097152 | 100 | 0.31433466 | PASSED
  diehard_dna | 0 | 2097152 | 100 | 0.02870652 | PASSED
  diehard_count_1s_str | 0 | 256000 | 100 | 0.89128121 | PASSED
  diehard_count_1s_byt | 0 | 256000 | 100 | 0.17830673 | PASSED
  diehard_parking_lot | 0 | 12000 | 100 | 0.90999882 | PASSED
  diehard_2dsphere | 2 | 8000 | 100 | 0.03045671 | PASSED
  diehard_3dsphere | 3 | 4000 | 100 | 0.09232689 | PASSED
  diehard_squeeze | 0 | 100000 | 100 | 0.73508382 | PASSED
  diehard_sums | 0 | 100 | 100 | 0.32859051 | PASSED
  diehard_runs | 0 | 100000 | 100 | 0.39448969 | PASSED
  diehard_runs | 0 | 100000 | 100 | 0.91979270 | PASSED
  diehard_craps | 0 | 200000 | 100 | 0.63592245 | PASSED
  diehard_craps | 0 | 200000 | 100 | 0.99705343 | WEAK
  marsaglia_tsang_gcd | 0 | 1000000 | 100 | 0.89785836 | PASSED
  marsaglia_tsang_gcd | 0 | 1000000 | 100 | 0.90694936 | PASSED
  sts_monobit | 1 | 100000 | 100 | 0.88611040 | PASSED
  sts_runs | 2 | 100000 | 100 | 0.88636360 | PASSED
  sts_serial | 1 | 100000 | 100 | 0.69514952 | PASSED
  sts_serial | 2 | 100000 | 100 | 0.65066530 | PASSED
  sts_serial | 3 | 100000 | 100 | 0.98477641 | PASSED
  sts_serial | 3 | 100000 | 100 | 0.93570553 | PASSED

```

sts_serial	4	100000	100	0.36790727	PASSED
sts_serial	4	100000	100	0.43119210	PASSED
sts_serial	5	100000	100	0.77091411	PASSED
sts_serial	5	100000	100	0.93215225	PASSED
sts_serial	6	100000	100	0.49537143	PASSED
sts_serial	6	100000	100	0.12735839	PASSED
sts_serial	7	100000	100	0.66858983	PASSED
sts_serial	7	100000	100	0.46903469	PASSED
sts_serial	8	100000	100	0.72869342	PASSED
sts_serial	8	100000	100	0.84368973	PASSED
sts_serial	9	100000	100	0.97343461	PASSED
sts_serial	9	100000	100	0.70326584	PASSED
sts_serial	10	100000	100	0.68757847	PASSED
sts_serial	10	100000	100	0.88008633	PASSED
sts_serial	11	100000	100	0.62658582	PASSED
sts_serial	11	100000	100	0.97527660	PASSED
sts_serial	12	100000	100	0.75728176	PASSED
sts_serial	12	100000	100	0.70454659	PASSED
sts_serial	13	100000	100	0.58688663	PASSED
sts_serial	13	100000	100	0.22544542	PASSED
sts_serial	14	100000	100	0.92448547	PASSED
sts_serial	14	100000	100	0.10628221	PASSED
sts_serial	15	100000	100	0.10422121	PASSED
sts_serial	15	100000	100	0.06270602	PASSED
sts_serial	16	100000	100	0.47988228	PASSED
sts_serial	16	100000	100	0.58138571	PASSED
rgb_bitdist	1	100000	100	0.75291211	PASSED
rgb_bitdist	2	100000	100	0.70573197	PASSED
rgb_bitdist	3	100000	100	0.17255477	PASSED
rgb_bitdist	4	100000	100	0.72698824	PASSED
rgb_bitdist	5	100000	100	0.92965714	PASSED
rgb_bitdist	6	100000	100	0.95980790	PASSED
rgb_bitdist	7	100000	100	0.44217394	PASSED
rgb_bitdist	8	100000	100	0.56533812	PASSED
rgb_bitdist	9	100000	100	0.95363509	PASSED
rgb_bitdist	10	100000	100	0.78010739	PASSED
rgb_bitdist	11	100000	100	0.49712631	PASSED
rgb_bitdist	12	100000	100	0.58114274	PASSED
rgb_minimum_distance	2	10000	1000	0.14633759	PASSED
rgb_minimum_distance	3	10000	1000	0.29147111	PASSED
rgb_minimum_distance	4	10000	1000	0.41460656	PASSED
rgb_minimum_distance	5	10000	1000	0.41332874	PASSED
rgb_permutations	2	100000	100	0.87640614	PASSED
rgb_permutations	3	100000	100	0.90191973	PASSED
rgb_permutations	4	100000	100	0.48251261	PASSED
rgb_permutations	5	100000	100	0.32495343	PASSED
rgb_lagged_sum	0	1000000	100	0.14977844	PASSED
rgb_lagged_sum	1	1000000	100	0.16925441	PASSED
rgb_lagged_sum	2	1000000	100	0.82534744	PASSED
rgb_lagged_sum	3	1000000	100	0.77897152	PASSED
rgb_lagged_sum	4	1000000	100	0.38030521	PASSED
rgb_lagged_sum	5	1000000	100	0.99740807	WEAK
rgb_lagged_sum	6	1000000	100	0.53543136	PASSED
rgb_lagged_sum	7	1000000	100	0.12236663	PASSED
rgb_lagged_sum	8	1000000	100	0.14445512	PASSED
rgb_lagged_sum	9	1000000	100	0.42429361	PASSED
rgb_lagged_sum	10	1000000	100	0.83658043	PASSED
rgb_lagged_sum	11	1000000	100	0.00346929	WEAK
rgb_lagged_sum	12	1000000	100	0.94449173	PASSED
rgb_lagged_sum	13	1000000	100	0.63923470	PASSED
rgb_lagged_sum	14	1000000	100	0.98479596	PASSED

rgb_lagged_sum	15	1000000	100 0.06141705	PASSED
rgb_lagged_sum	16	1000000	100 0.83700121	PASSED
rgb_lagged_sum	17	1000000	100 0.50267624	PASSED
rgb_lagged_sum	18	1000000	100 0.38051886	PASSED
rgb_lagged_sum	19	1000000	100 0.68032691	PASSED
rgb_lagged_sum	20	1000000	100 0.81007207	PASSED
rgb_lagged_sum	21	1000000	100 0.33236621	PASSED
rgb_lagged_sum	22	1000000	100 0.41150631	PASSED
rgb_lagged_sum	23	1000000	100 0.04839325	PASSED
rgb_lagged_sum	24	1000000	100 0.57240490	PASSED
rgb_lagged_sum	25	1000000	100 0.20466249	PASSED
rgb_lagged_sum	26	1000000	100 0.17603521	PASSED
rgb_lagged_sum	27	1000000	100 0.87819636	PASSED
rgb_lagged_sum	28	1000000	100 0.89304522	PASSED
rgb_lagged_sum	29	1000000	100 0.91222017	PASSED
rgb_lagged_sum	30	1000000	100 0.59190888	PASSED
rgb_lagged_sum	31	1000000	100 0.01853238	PASSED
rgb_lagged_sum	32	1000000	100 0.97387055	PASSED
rgb_kstest_test	0	10000	1000 0.05918341	PASSED
dab_bytedistrib	0	51200000	1 0.28445837	PASSED
dab_dct	256	50000	1 0.35328651	PASSED
Preparing to run test	207.	ntuple = 0		
dab_filltree	32	15000000	1 0.52303780	PASSED
dab_filltree	32	15000000	1 0.73098748	PASSED
Preparing to run test	208.	ntuple = 0		
dab_filltree2	0	5000000	1 0.43543928	PASSED
dab_filltree2	1	5000000	1 0.50795861	PASSED
Preparing to run test	209.	ntuple = 0		
dab_monobit2	12	65000000	1 0.26259528	PASSED

Listing 3: Wynik testów z pakietu *linux-ent*.

Entropy = 8.000000 bits per byte.

Optimum compression would reduce the size of this 2064385896 byte file by 0 percent.

Chi square distribution for 2064385896 samples is 255.90, and randomly would exceed this value 47.23 percent of the times.

Arithmetic mean value of data bytes is 127.5014 (127.5 = random).

Monte Carlo value for Pi is 3.141579925 (error 0.00 percent).

Serial correlation coefficient is -0.000035 (totally uncorrelated = 0.0).